

УДК 532-528

Владимир Серебряков

Институт гидромеханики НАН Украины, Киев, Украина

Некоторые возможности оптимизации обтекания кавитирующих тел

Анотация: Стаття содержит ряд типичных решений для формы нестационарной каверны, иллюстрирующих особенности изменения формы и размеров каверны, существенные с точки зрения сохранения устойчивости движения

Ключевые слова: Гидромеханика, кавитация, каверна, динамика

Введение

Движение тел в каверне с искусственным поддувом является процессом с максимально возможными источниками неустойчивости, как процессов обтекания, так и движения при глиссирования тела в каверне в целом. Одной из основных причин является неустойчивости каверны, заполненной газом и также появление волн на каверне значительной амплитуды от резких изменений объема и каверны. Этой причиной могут быть также изменения формы каверны локального характера при их взаимодействии с глиссирующей поверхностью.

Приводится ряд решений с возможными способами уменьшения возмущений каверны в процессе движения путем корректировки законов изменения давления в каверне с помощью искусственного поддува

Исходные уравнения

Система уравнений для расчета осесимметричной нестационарной каверны $r = R(x, t)$ в системе координат r, x , связанной с неподвижной жидкостью, определяется в следующем виде (1) [1, 2]:

$$U = U(t), \Delta P = \Delta P(x, t): \text{ a) } \frac{\partial^2 R^2(x, t)}{\partial t^2} + \frac{2\Delta P(x, t)}{\rho\mu} = 0, \text{ b) } \left. \frac{\partial R^2}{\partial t} \right|_{t=t_n(x)} = R_n(x)U_n(x)\sqrt{\frac{2[c_d(x) - k\Delta P]}{k\mu}}, \text{ c) } \left. R^2 \right|_{t=t_n(x)} = R_n^2(x),$$

$$\text{ d) } R_n = R_{nt}(t)|_{t=t_n(x)} = R_n^2(x), \text{ e) } U = U(t)|_{t=t_n(x)} = U_n(x), \text{ f) } c_d = c_{dt}(t)|_{t=t_n(x)} = c_d(x) \quad (1)$$

Здесь U , R_n , c_d - скорость движения, радиус, коэффициент сопротивления кавитатора, зависящие от времени t , $R = R(x, t)$ - радиус сечений каверны, $\Delta P = P_\infty(x) - P_c(t)$ - разность между давлением в потоке и в каверне, ρ - массовая плотность воды, $\Delta P = \Delta P(x, t)$, $x_n(t)$ - закон движения кавитатора, $t_n(x)$ - функция обратная $x_n = x_n(t)$. Величины μ , k являются медленно меняющимися функциями, в основном от удлинения каверны $\lambda = L/2R_k$, L - длина, R_k - наибольший радиус каверны, μ - характеризует инерционность сечений каверны, k - перенос энергии вдоль ее сечений. Эти величины с достаточной точностью могут определяться в зависимости от λ или $\sigma = 2\Delta P/\rho U^2$ по зависимостям (2) для стационарной каверны: Рис.1, Рис.2

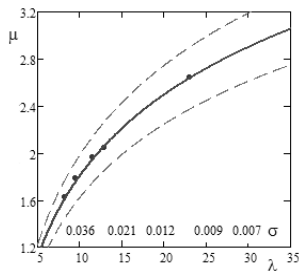


Рис. 1 Зависимость величины μ от λ и σ

— Зависимости (1g),
 - - - - - 10% отклонение величины μ ,
 ••••• $\mu = \sigma\lambda^2$ - Численный расчет

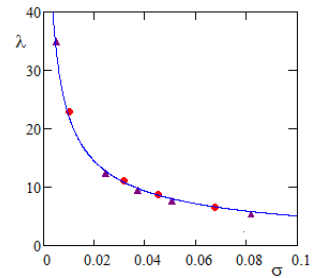


Рис. 2 Зависимость λ от σ , и величины k от σ и λ .

— Зависимости (1f, 3k, 3m),
 ••••• Численный расчет

$$\begin{aligned}
 \text{a) } \lambda &= \sqrt{\frac{L}{2R_k}} \approx \sqrt{\frac{2\mu}{\sigma}}, \text{ b) } \mu \approx \ln \sqrt{\frac{1}{e}(\lambda^2 + 7)}, \text{ c) } \mu \approx \ln \sqrt{\frac{1}{e\sigma} \ln \left(\frac{2}{\sigma} + 10 \right)}; \text{ d) } k \approx 1 - \frac{2 \ln(2/\sqrt{e})}{\ln(0.8(\lambda)^2 + 35)}, \text{ e) } \\
 k &\approx 1 - \frac{2 \ln(2/\sqrt{e})}{\ln(4/\sigma + 18)}
 \end{aligned} \tag{2}$$

Решение задачи (1) для формы нестационарной каверны в виде универсального интеграла, с возможностью его применения для расчетов при различных способах управления каверной, может быть представлено в виде (3) с возможностью определения величин μ, k по стационарным зависимостям (2b-2e) [2]:

$$R^2 = R_n^2(x) + 2R_n(x)U_n(x) \sqrt{\frac{c_d(x) - k\sigma(x)}{2k\mu}} (t - t_n(x)) - \frac{1}{\rho\mu} \left[\Delta P_0 + \Delta P_x(x)(t - t_n(x))^2 + 2 \int_{t_n(x)}^t \left(\int_{t_n(x)}^t \Delta P_{xt}(x,s) ds \right) dt \right] \tag{3}$$

Формы типичных нестационарных каверн при постоянной скорости движения

Имеется две основные возможности управления формой и размерами каверны:

- Управление каверной путем изменения размеров и формы кавитатора, включая изменение его коэффициента сопротивления и изменения скорости движения. При форме нестационарной каверны, близкой стационарной, этот способ позволяет управлять размерами каверны без существенного изменения ее удлинения.

- Управление путем изменения давления газа в каверне с помощью изменения интенсивности искусственного поддува делает возможным одновременное изменение размеров и удлинения каверны.

Имеется ряд решений на основе интеграла (3), иллюстрирующих сложности взаимодействия процессов управления и устойчивости движения тела в каверне в целом. В решениях ниже при движении с постоянной скоростью все величины предполагаются безразмерными относительно ρ, R_n и U .

Управление каверной связано с инициацией пульсаций каверны и также может приводить к значительным локальным изменениям формы каверны, не желательных для устойчивости движения.

Воздействие пульсации давления в каверне на ее форму определяется решением (3) в виде (4), Рис.3:

$$\frac{\Delta P(t)}{\rho U^2 / 2} = \sigma(1 + \sin \omega t) : \bar{R}^2 = 1 + \sqrt{\frac{2(c_d - k\sigma)}{k\sigma}} \bar{x} - \frac{\sigma}{2\mu} \left[\bar{x}^2 + 2 \frac{k\sigma}{\omega} \left[\sin(\omega(\bar{t} - \bar{x})) - \sin \bar{t} \bar{x} + \bar{\omega} \bar{x} \cos(\bar{\omega}(t - \bar{x})) \right] \right] \tag{4}$$

Воздействие резкого изменения величины c_d кавитатора, в процессе движения, задается зависимостью в виде функции Хевисайда $\Phi(x - x_d)$ и определяется решением (3) в виде (5), Рис. 4:

$$c_d = \frac{D}{\pi R_n^2 \rho U^2 / 2} = c_{di} (1 + \kappa_{cd} \Phi(\bar{x} - \bar{x}_{cd})) : \bar{R}^2 = 1 + \sqrt{\frac{2(c_{di}(1 + \kappa_{cd} \Phi(\bar{x} - \bar{x}_{cd})) - k\sigma)}{k\mu}} (\bar{t} - \bar{x}) - \frac{\sigma}{2\mu} (\bar{t} - \bar{x})^2 \quad (5)$$

Решение (4) представлено в подвижной системе координат r, \bar{x} , решение (5) – в системе координат в неподвижной жидкости r, x , $x = x_{cd}$ координата неподвижного сечения с резким изменением сопротивления кавитатора D . Результаты расчетов на основе решений (4, 5) иллюстрируют Рис. 3, Рис.4

Характерным при пульсирующем давлении в каверне, является уменьшение амплитуд колебаний с увеличением частоты колебаний давления ω и, соответственно, числа волн на поверхности каверны.

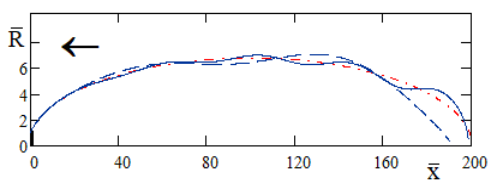


Рис.3 Форма каверны за диском при воздействии синусо-идальных пульсаций давления, $\sigma = 0.02$, $\kappa_p = 0.5$

— · — · — $\bar{\omega} = 0.15$, $\bar{t} = 250$, 4 волны вдоль каверны
 - - - - $\bar{\omega} = 0.07$, $\bar{t} = 270$, 2 волны вдоль каверны
 - - - - стационарная каверна при $\sigma = 0.02$

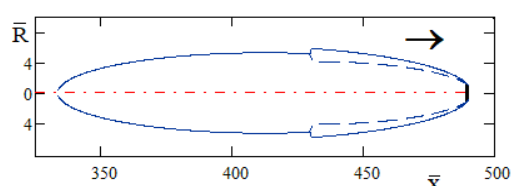


Рис. 4 Форма каверны при скачкообразном изменении величины c_d кавитатора, $\sigma = 0.02$, $c_{di} = 0.5$, $\kappa_{cd} = 0.4$

— · — · — $\bar{x}_{cd} = 430$, $\bar{t} = 490$, случай уменьшения c_d
 - - - - $\bar{x}_{cd} = 430$, $\bar{t} = 490$, случай увеличения c_d
 - - - - стационарная каверна при $\sigma = 0.02$

Наиболее опасен случай резкого изменения поверхности каверны виде ступеньки, решение (5) Рис. 4.

Здесь, включая аналогичные, изменения скорости и размера кавитатора. после прохождения кавитатором неподвижного сечения при $x = x_s$ высота ступеньки начинает увеличиваться и достигает начального сечения глассирующей поверхности. В случае резкого уменьшения сопротивления глассирующая поверхность сталкивается с выступом на поверхности каверны при резком увеличении подъемных силы и момента, в случае увеличения сопротивления происходит резкая потеря контакта этой поверхности с жидкостью.

Воздействие гравитации иллюстрируется решением (6) уравнения (3) и результатами расчетов Рис.5 при вертикальном погружении жидкость при $Fr = U / \sqrt{gR_n} = 12$ в сравнении с экспериментальными данными Рис. 6.

$$a) R^2 = 1 + \sqrt{\frac{2c_{do}}{k\mu}} (\bar{t} - \bar{x}) - \frac{\bar{x}}{Fr^2 \mu} (\bar{t} - \bar{x})^2 \rightarrow b) R^2 = 1 + \sqrt{\frac{2c_{do}}{k\mu}} \bar{x} - \frac{(\bar{t} + \bar{x}) \bar{x}^2}{Fr^2 \mu} \quad (6)$$

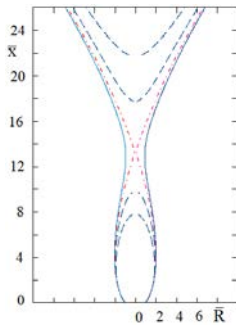


Рис. 5. Расчет нестационарной каверны за диском при вертикальном погружении с постоянной скоростью [2]

- — — — — Формы каверны при $Fr = 12$, $\bar{t} = 25.6$
- - - - - Расчет формы каверны при $Fr = 12$, $\bar{t} = 26$ в момент глубинного смыкания каверны
- — — — — Формы каверны при $Fr = 12$, $\bar{t} = 27$, $\bar{t} = 29$

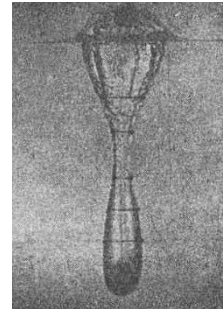


Рис. 6. Экспериментальная каверны за тупым конусом при вертикальном погружении с постоянной скоростью [3]

- Расчет каверны путем применения принципа независимости расширения каверны на основе закона расширения сечений стационарной каверны при $\mu = 2$ [3]

Решение (6) показывает уменьшение размеров каверны после глубинного смыкания. Изменение величины ΔP в (6a) в виде (7a) позволяет зафиксировать форму каверны в виде стационарной вертикальной каверны (7b).

$$a) \bar{R}^2 = 1 + \sqrt{\frac{2cd_0}{k\mu}} (\bar{t} - \bar{x}) - \frac{1}{\mu} \left[\frac{x}{Fr^2 \mu} (\bar{t} - \bar{x})^2 - 2 \int_{\bar{x}}^{\bar{t}} \left(\int_{\bar{x}}^{\bar{t}} (\bar{s}) d\bar{s} \right) d\bar{t} \right] \rightarrow b) R^2 = 1 + \sqrt{\frac{2cd_0}{k\mu}} (\bar{x}) + \frac{1}{3\mu} \frac{\bar{x}^3}{Fr^2} \quad (7)$$

Представление вертикальной каверны (8a) обнаруживает 2 точки заострения, соответствующих условиям (8b, 8c) при погружении и всплывании. Результаты расчета формы каверны в этих случаях даются Рис.7 [4].

$$a) R^2 = 1 + \sqrt{\frac{2(cd - k\sigma_0)}{k\mu}} \bar{x} + \frac{1}{\mu} \left(\mp \frac{\sigma_0}{2} \bar{x}^2 \pm \frac{1}{3} \frac{\bar{x}^3}{Fr^2} \right) \rightarrow b) \sigma_0 Fr_L^2 = \frac{4}{3}, c) \sigma_0 Fr_L^2 = \frac{2}{3} d) \sigma_0 = \sigma|_{x=0} \quad (8)$$

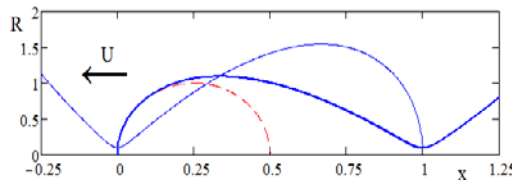


Рис.7: Вертикальные каверны предельных форм, $\bar{x} = x/L$, $\bar{R} = R/R_k$

- — — — — погружение $\sigma_0 Fr_L \approx 4/3$, — — — — — всплывание при $\sigma_0 / Fr_L \approx 2/3$
- - - - - каверна при $\sigma = const.$

Формы нестационарных каверн при движении с постоянной величиной ускорения

При обезразмеривании относительно ρ, R_n, a , a -ускорение, исходные данные определяются в виде (9):

$$a) \bar{x}_n(t) = \frac{\bar{t}^2}{2}, b) \bar{t}_n(\bar{x}) = \sqrt{2\bar{x}}, c) \bar{U}_n(\bar{t}) = \bar{t}, d) \bar{U}_x(\bar{x}) = \sqrt{2\bar{x}}, e) \sigma_{nt} = \frac{2\Delta\bar{P}_t(\bar{t})}{\bar{t}^2}, f) \sigma_{nx} = \sigma_{nt}|_{t=t_n(x)} = \frac{\Delta\bar{P}_x(\bar{x})}{\bar{x}} \quad (9)$$

Решение уравнения (3) в наиболее простом случае при постоянных ускорении a и ΔP в потоке и каверне находится в виде (10), определяя существенное увеличение размеров каверны в процессе движения.

$$\bar{R}^2 \approx 1 + \sqrt{2\bar{x}} \sqrt{\frac{2c_{do}}{k\mu}} [\bar{t} - \sqrt{2\bar{x}}] - \frac{\Delta P}{\mu} [\bar{t} - \sqrt{2\bar{x}}]^2, \quad \sigma_{nt} = \frac{2\Delta P}{\bar{t}^2} \quad (10)$$

Изменяя давление в каверне путем искусственного поддува и, соответственно величину ΔP в соответствии с зависимостью (11b) делает возможным движение тела в каверне при ее минимальных изменениях и близости ее формы к стационарной каверне в условиях равноускоренного движения. Результаты расчета решения (3) в этом случае в виде (11) иллюстрируют Рис. 9, Рис. 10.

$$a) \bar{R}^2 = 1 + \sqrt{\frac{2c_{do}}{k\mu}} \sqrt{2\bar{x}} [\bar{t} - \sqrt{2\bar{x}}] - \frac{\sigma_a}{\mu} \int_{\sqrt{2\bar{x}}}^{\bar{t}} (\bar{t} - \bar{s}) \bar{s}^2 d\bar{s}, \quad b) \frac{\sigma_a}{\mu} \int_{\sqrt{2\bar{x}}}^{\bar{t}} (\bar{t} - \bar{s}) \bar{s}^2 d\bar{s} = \frac{\sigma_a}{\mu} \left(\frac{1}{12} \bar{t}^4 + \bar{x}^2 - \frac{2\sqrt{2}}{3} \bar{t} \bar{x}^{3/2} \right) \quad (11)$$

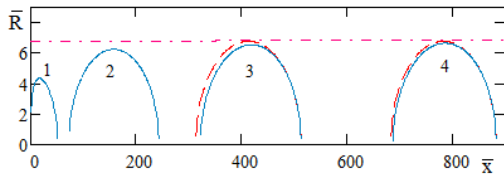


Рис. 9 Нестационарная каверна при ускорении под воздействием компенсирующего давления в каверне

----- Нестационарная каверна при $\sigma_a = 0.02$:
 1 - $\bar{t} = 10$, 2 - $\bar{t} = 22$, 3 - $\bar{t} = 32$, 4 - $\bar{t} = 42$
 ---- Стационарная каверна при $\sigma_a = 0.02$

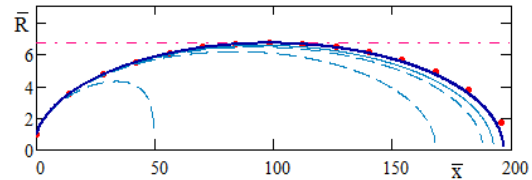


Рис. 10 Форма каверны при ускорении под воздействием компенсации давления в подвижной системе координат

Нестационарная каверна при $\sigma_a = 0.02$: ----
 $\bar{t} = 10$, $\bar{t} = 22$, $\bar{t} = 32$, ---- $\bar{t} = 42$, ----
 $\bar{t} = 420$
 Стационарная каверна при $\sigma_a = 0.02$

Возможным является получения оптимального режима обтекания при сохранении размеров каверны, близкой к стационарной, при ускоренном движении под небольшим углом к горизонту θ . Эта возможность подтверждается решением (12), результаты расчета, на основе которого, иллюстрируют Рис.11, Рис.12

$$a) \bar{R}^2 = 1 + \sqrt{\frac{2c_{do}}{k\mu}} \sqrt{2\bar{x}} [\bar{t} - \sqrt{2\bar{x}}] - \frac{g\theta \bar{x}}{\mu} [\bar{t} - \sqrt{2\bar{x}}]^2, \quad b) \bar{R}^2 = 1 + \sqrt{2\bar{x}} \sqrt{\frac{2c_{do}}{k\mu}} [\bar{t} - \sqrt{2\bar{x}}] - \frac{\sigma_{g\theta}}{\mu} \bar{x} [\bar{t} - \sqrt{2\bar{x}}]^2, \quad c)$$

$$\frac{g}{a} \theta = \sigma_{g\theta}$$

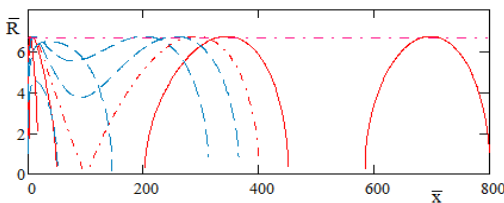
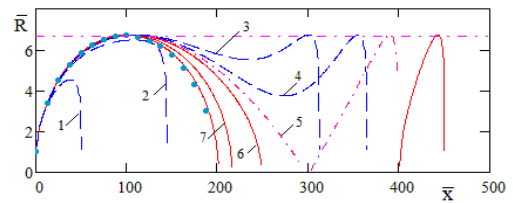


Рис. 11 Эволюция формы нестационарной каверны при ускорении с повышением гидростатического давления в процессе приближения к форме стационарной каверны
 ---- Форма каверны до $\bar{t} = 10$, $\bar{t} = 17$, $\bar{t} = 25$,
 $\bar{t} = 27$,



Фиг 12 Сравнение формы нестационарной и стационарной при $\sigma_{g\theta} = 0.02$ каверны в подвижной системе координат

---- Форма каверны до: ---- 1 - $\bar{t} = 10$, 2 -
 $\bar{t} = 17$,
 3- $\bar{t} = 25$, 4 - $\bar{t} = 27$, в момент: ----: 5 - $\bar{t} = 28.23$ и

в момент $\bar{t} = 28,23$ и после глубинного
смыкания
----- $\bar{t} = 30, \bar{t} = 40$

после глубинного смыкания: ----- 6- $\bar{t} = 30, 7-$
 $\bar{t} = 40$
----- стационарная и нестационарная каверны
при $\bar{t} = 100$

Заклучение

Данные исследований подтверждают возможность оптимизации процессов обтекания с точки зрения сохранения устойчивости движения путем изменения давлений в каверне с помощью искусственного поддува.

Список использованной литературы

1. Серебряков В. В. Кольцевая модель для расчета осесимметричных течений с развитой кавитацией // Гидромеханика. -1974. -Вып. 27. -С. 25-29
2. Serebryakov V. V. Physical - mathematical bases of the principle of independence of cavity expansion, Proceedings of Seventh Int. Symposium on Cavitation: CAV2009, Paper No.169, Michigan University 2009, Ann Arbor, Michigan, USA
3. Журавлев Ю. Ф. Методы теории возмущений в пространственных струйных течениях // Тр. ЦАГИ им. Н.Е.Жуковского. -1973. -Вып. 1532. -23 с.
4. Ефремов И.И., Серебряков В.В. О форме тонких каверн при малых числах кавитации в плоском и осесимметричном потоках // Гидромеханика. -1978. -Вып. 38. -С. 82-85.